

```
In [1]: from IPython.display import IFrame
import os
import numpy as np
import matplotlib.pyplot as plt
import matplotlib.ticker as ticker
```

## 3D Stokes parameters

Sea  $\vec{E}(\vec{r}, z)$  un campo cualquiera, se pueden considerar su parte real e imaginaria por separado

$$\vec{E}(\vec{r}, z) = \vec{A}(\vec{r}, z) + i\vec{B}(\vec{r}, z) \quad (1)$$

Se puede demostrar que existen dos vectores  $\vec{P}(\vec{r}, z)$  y  $\vec{Q}(\vec{r}, z)$  ortogonales entre sí que vienen dados por

$$\vec{P}(\vec{r}, z) = \cos[\alpha(\vec{r}, z)] \cdot \vec{A}(\vec{r}, z) + \sin[\alpha(\vec{r}, z)] \cdot \vec{B}(\vec{r}, z) \quad (2)$$

$$\vec{Q}(\vec{r}, z) = \cos[\alpha(\vec{r}, z)] \cdot \vec{B}(\vec{r}, z) - \sin[\alpha(\vec{r}, z)] \cdot \vec{A}(\vec{r}, z) \quad (3)$$

donde

$$\tan[\alpha(\vec{r}, z)] = \frac{2 \vec{A} \cdot \vec{B}}{|\vec{A}|^2 - |\vec{B}|^2} \quad (4)$$

Entonces  $\vec{P}$  i  $\vec{Q}$  y  $\vec{N} = \vec{P} \times \vec{Q}$  son un conjunto de tres vectores ortogonales en cada punto del haz. El campo puede escribirse como

$$E_P = \frac{\vec{E} \cdot \vec{P}}{|\vec{P}|} = |\vec{P}| e^{i\alpha} \quad (5)$$

$$E_Q = \frac{\vec{E} \cdot \vec{Q}}{|\vec{Q}|} = |\vec{Q}| e^{i\alpha} \quad (6)$$

$$E_N = 0 \quad ; \quad \forall (\vec{r}, z) \quad (7)$$

Es decir, el campo está contenido en el plano  $PQ$  y  $\vec{N}$  es la normal a dicho plano. Entonces, el campo será, por lo general, elípticamente polarizado referido a los ejes  $\vec{P}$  i  $\vec{Q}$ . Notese que  $\vec{A} \times \vec{B} = \vec{P} \times \vec{Q}$

Se puede demostrar que los parametros de Stokes del campo  $\vec{E}$  en cada punto, y referidos a dicho plano  $PQ$  pueden calcularse como

$$S_0(\vec{r}, z) = |\vec{E}(\vec{r}, z)|^2 = |\vec{A}(\vec{r}, z)|^2 + |\vec{B}(\vec{r}, z)|^2 \quad (8)$$

$$S_1(\vec{r}, z) = \frac{|\vec{A}(\vec{r}, z)|^2 - |\vec{B}(\vec{r}, z)|^2}{\cos[2\alpha(\vec{r}, z)]} \quad (9)$$

$$S_2(\vec{r}, z) = 0 \quad (10)$$

$$S_3(\vec{r}, z) = 2 |\vec{A}(\vec{r}, z) \times \vec{B}(\vec{r}, z)| \quad (11)$$

## Campo incidente circularmente polarizado

Se ensaya con el siguiente campo incidente circularmente polarizado a derechas

$$\vec{E}_S^{circ}(\theta, \varphi) = \frac{1}{\sqrt{2}} g(\theta) (1, i) \quad (12)$$

donde

$$g(\theta) = \frac{\exp\left\{-\frac{\sigma(\cos\theta - \bar{\alpha})}{2(1-\alpha_0)^2}\right\}}{\pi\sqrt{\cos\theta}(1 + \cos\theta)} \quad (13)$$

```
In [2]: os.chdir(r"C:\Users\dmaluenda\OneDrive - Universitat de Barcelona\Research\WorkInProgress\3Dpolarization\experimental")

# print(List(np.load("Dextro/amplitudes.npz").keys()))
with np.load("Dextro/amplitudes.npz") as file:
    dextro_Ax = file['Ax']
    dextro_Ay = file['Ay']
    dextro_p = file['p']

# print(List(np.load("Dextro/phases.npz").keys()))
```

```

with np.load("Dextro/phases.npz") as file:
    dextro_phx = file['phi_x']
    dextro_phy = file['phi_y']
    dextro_ros = file['ros']

```

```

In [3]: def plot_transversal_field(Ax, Ay, phx, phy, trim=None):

    scale = 58.5 # nm/px
    fig, axs = plt.subplots(2,2, figsize=(10,10))
    for idx, ax in enumerate(axs.flatten()):
        ax.set_aspect('equal')
        ax.set_xlabel(r'$x$ (\mu m)')
        ax.set_ylabel(r'$y$ (\mu m)')

        if idx == 0:
            im = ax.imshow(Ax[trim:-trim,trim:-trim], cmap='jet')
            ax.set_title(r'$|E_x|$')
            lims = Ax[trim:-trim,trim:-trim].shape
        elif idx == 1:
            im = ax.imshow(Ay[trim:-trim,trim:-trim], cmap='jet')
            ax.set_title(r'$|E_y|$')
        elif idx == 2:
            im = ax.imshow(np.angle(phx)[trim:-trim,trim:-trim], cmap='hsv')
            ax.set_title(r'$\phi_x$')
        elif idx == 3:
            im = ax.imshow(np.angle(phy)[trim:-trim,trim:-trim], cmap='hsv')
            ax.set_title(r'$\phi_y$')

        ax.set_xticks([0,lims[0]/2,lims[0]])
        ax.set_yticks([0,lims[1]/2,lims[1]])
        ticks = [-lims[0]/2*scale/1000, 0, lims[0]/2*scale/1000]
        format_ticks = ticker.FormatStrFormatter('%1f').format_ticks(ticks)
        ax.set_xticklabels(format_ticks)
        ax.set_yticklabels(format_ticks)
        if idx in [2,3]:
            cbar = fig.colorbar(im, ax=ax, orientation='vertical',
                                ticks=[-np.pi+0.01, -np.pi/2, 0, np.pi/2, np.pi-0.05])
            cbar.ax.set_yticklabels([r'$-\pi$', r'$-\pi/2$', r'$0$', r'$\pi/2$', r'$\pi$'])
        else:
            cbar = fig.colorbar(im, ax=ax, orientation='vertical')

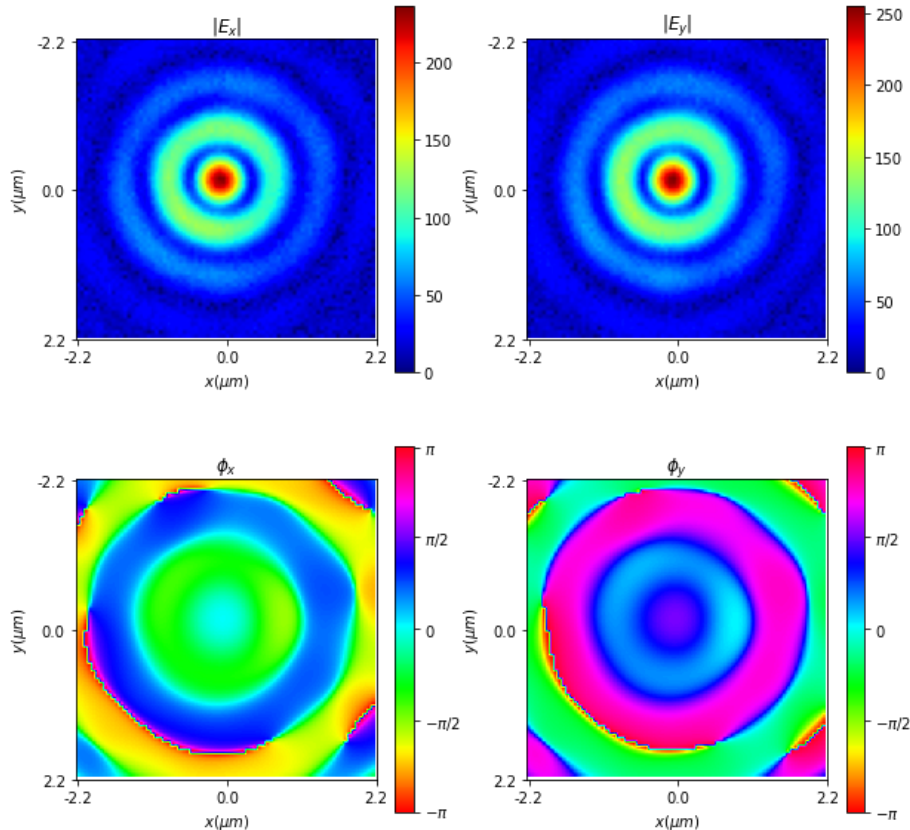
    # plt.subplots_adjust(left=0.1, bottom=0.1, right=0.9, top=0.9,
    #                      wspace=0.2, hspace=0.2)
    plt.show()
    return lims

```

```

In [4]: _ = plot_transversal_field(dextro_Ax, dextro_Ay, dextro_phx, dextro_phy, trim=int(2**6.5))


```



La figura anterior muestra el campo transversal en el plano focal. Mientras que la siguiente muestra el campo longitudinal en el

plano focal calculado a través de [cita al SciRep]

$$\mathcal{F}\left\{E_z(\vec{k}_\perp; z=0)\right\} = -\frac{\vec{k}_\perp \cdot \mathcal{F}\left\{\vec{E}_\perp(\vec{k}_\perp; z=0)\right\}}{k_z} \quad (14)$$

circular\_longitudinal

Calculamos los parametros de Stokes según las ecuaciones de (8) a (11) y mostramos los resultados en la siguiente figura

```
In [5]: def plot_3D_stokes(*stokes_fn):
fig, axs = plt.subplots(2,2, figsize=(10,10))
axs[1,1].imshow(np.ones((10,10)), cmap='seismic')
for idx, ax in enumerate(axs.flatten()):
    ax.set_aspect('equal')
    ax.set_xlabel(r'$x$ (\mu m)')
    ax.set_ylabel(r'$y$ (\mu m)')

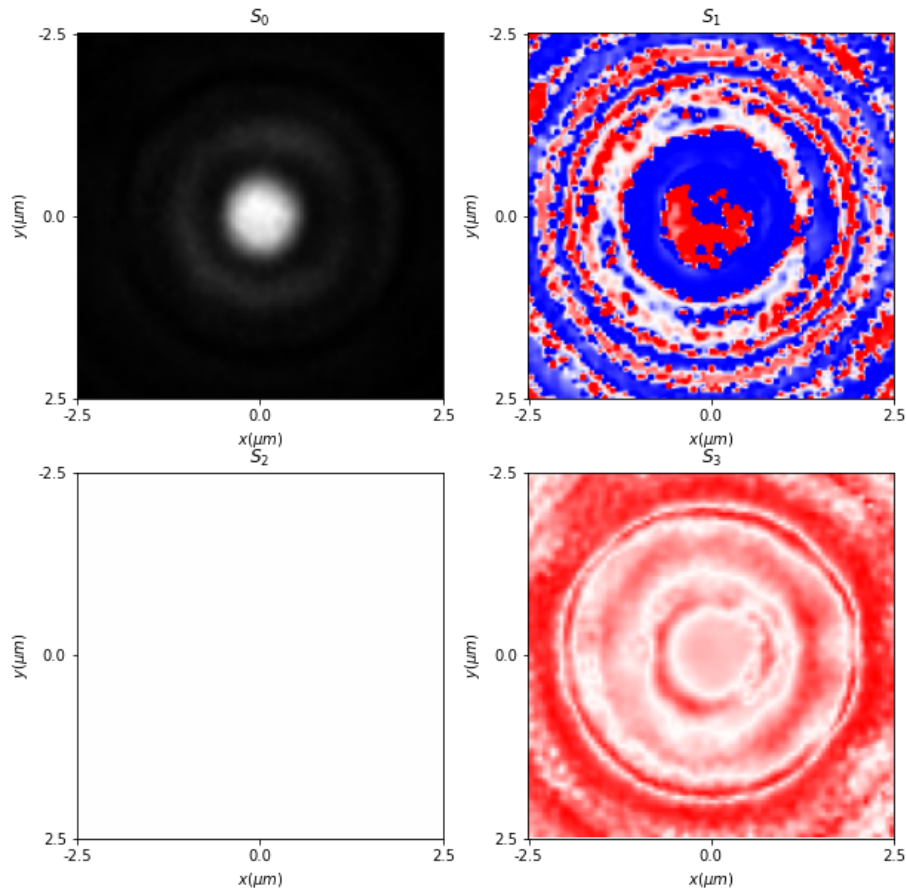
    s_i = plt.imread(stokes_fn[idx])
    im = ax.imshow(s_i)
    ax.set_title(fr'$S_{\{idx\}}$')

    lims = s_i.shape
    ax.set_xticks([0,lims[0]//2,lims[0]])
    ax.set_yticks([0,lims[1]//2,lims[1]])
    ticks = [-2.5, 0, 2.5]
    format_ticks = ticker.FormatStrFormatter('%1f').format_ticks(ticks)
    ax.set_xticklabels(format_ticks)
    ax.set_yticklabels(format_ticks)

# fig.colorbar(im, ax=axs.ravel().tolist(), cmap='seismic')

plt.show()
return lims
```

```
In [6]: _ = plot_3D_stokes(*[f'Dextro/s{i}_pDex.png' for i in range(4)])
```



## Campo incidente radialmente polarizado (sin singularidad central)

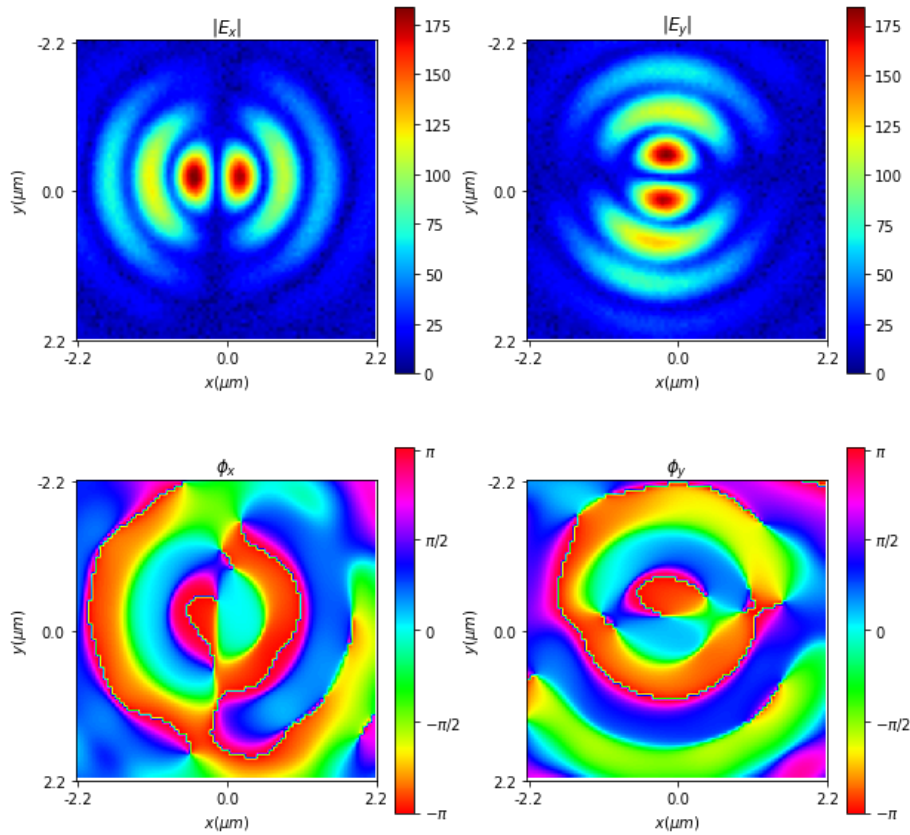
$$\vec{E}_S^{\text{rad}}(\theta, \varphi) = \frac{1}{\sqrt{2}} g(\theta) (\cos \varphi, \sin \varphi) \quad (15)$$


A continuación mostramos el campo transversal en el plano focal para el caso de campo incidente radialmente polarizado

```
In [7]: os.chdir(r"C:\Users\dmluenda\OneDrive - Universitat de Barcelona\Research\WorkInProgress\3Dpolarization\experimental")
with np.load("Radial/amplitudes.npz") as file:
    radial_Ax = file['Ax']
    radial_Ay = file['Ay']
    radial_p = file['p']

with np.load("Radial/phases.npz") as file:
    radial_phx = file['phi_x']
    radial_phy = file['phi_y']
    radial_ros = file['ros']

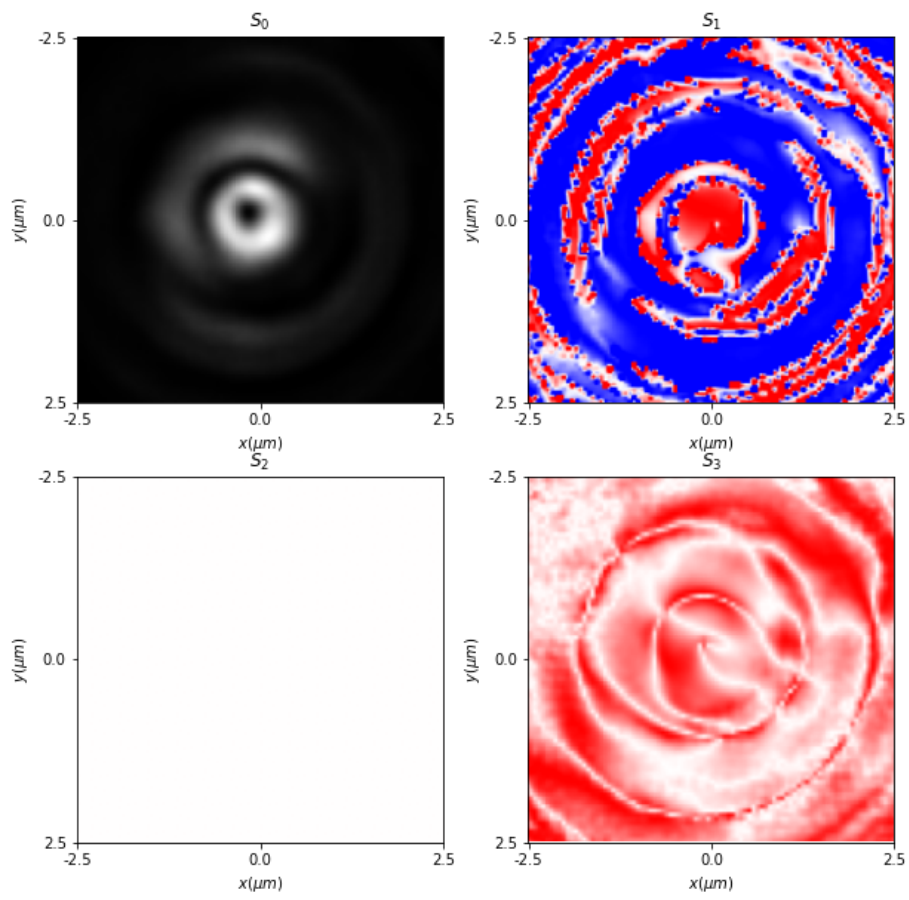
_ = plot_transversal_field(radial_Ax, radial_Ay, radial_phx, radial_phy, trim=int(2**6.5))
```



Se calcula la componente longitudinal del campo en el plano focal segun (14)  radial\_longitudinal

Calculamos los parametros de Stokes segun las ecuaciones de (8) a (11) y mostramos los resultados en la siguiente figura

```
In [8]: _ = plot_3D_stokes(*[f'Radial/s{i}_pRad.png' for i in range(4)])
```



In [ ]: